



استخدام مؤشر (TWI) في تحديد موقع تجمع مياه الجريان السيلي بمنطقة الخمس - ليبيا.

د. رجب فرج سالم اقنيير

أستاذ مشارك بقسم الجغرافيا / بالأكاديمية الليبية فرع الخمس - ليبيا.

rajabegnaber@academy.edu.ly

تاريخ الاستلام 2025/10/05 تاريخ القبول 2025/10/25 تاريخ النشر 2026/01/01

الملخص:

يركز البحث على توظيف مؤشر الرطوبة الطوبوغرافية (TWI) كأحد تطبيقات نظم المعلومات الجغرافية والاستشعار عن بعد، وذلك لتحليل العلاقة بين قابلية التضاريس للاحتفاظ بالمياه ومعدل تدفقها نحو المناطق المنخفضة، فيما إن المنطقة الساحلية بالخمس تتحضر بين سلسلة من الهضاب والتلال المرتفعة في جهتها الجنوبيّة، وتخللها العديد من الأودية، فهي تتعرض خلال الموسماً الممطرة لتجمع كميات كبيرة من مياه الأمطار في الموضع المنخفضة، مما يؤدي إلى حدوث فيضانات تتسبب في إغلاق الطرق وتعطل حركة السير بالمنطقة. ومن هذا المنطلق، استهدف البحث تحليل تأثير الخصائص الطوبوغرافية في توزيع مياه الجريان السطحي وتحديد الموضع الأكثر عرضة لتجمع السيول، مع إنشاء قاعدة بيانات جغرافية رقمية يمكن توظيفها في التخطيط العمري والحد من مخاطر الفيضانات، وقد أظهرت النتائج أن الفيضانات تتكرر بشكل واضح على الطرق الرئيسية، الأمر الذي يهدد السكان وال عمران وتوقف حركة السير بالطرق، كما أثبت مؤشر (TWI) كفاءته العالية في تحديد مناطق تجمع المياه بدقة، مما يؤكد أهميته كأداة علمية مهمة للتنبؤ بالموقع المعرضةلفيضانات، ودعم صناع القرار في إدارة الموارد المائية؛ للحد من الفيضانات والتخطيط العمري السليم بمنطقة الدراسة.

الكلمات المفتاحية: الفيضانات، نظم المعلومات الجغرافية، الاستشعار عن بعد، مؤشر الرطوبة الطوبوغرافية، (TWI)، منطقة الخمس، تجمع المياه.

Using the Topographic Wetness Index (TWI) to Identify Flash Flood Runoff Accumulation Areas in Al-Khums Region, Libya

Rajab Faraj Salem Aqneber

Department of Geography, Libyan Academy, Al-Khoums Branch, Libya.

rajabegnaber@academy.edu.ly

Received: 05/10/2025

Accepted: 25/10/2025

Published: 01/01/2026

Abstract:

This study focuses on the application of the Topographic Wetness Index (TWI) as a Geographic Information Systems (GIS) and Remote Sensing-based approach to analyze the relationship between terrain water retention potential and surface runoff convergence toward low-lying areas. The coastal region of Al-Khums is bounded to the south by a series of elevated plateaus and hills and dissected by numerous wadis, making it highly susceptible during rainy seasons to the accumulation of large volumes of rainfall in topographic depressions. This often results in flash floods that cause road closures and disrupt traffic movement across the region. Accordingly, the study aimed to analyze the influence of topographic characteristics on the spatial distribution of surface runoff and to identify areas most vulnerable to flash flood accumulation, while establishing a digital geographic database that can be utilized in urban planning and flood risk mitigation. The results demonstrated that flood occurrences are clearly concentrated along major road networks, posing significant threats to population safety, built-up areas, and transportation continuity. Furthermore, the Topographic Wetness Index (TWI) proved to be highly effective in accurately delineating water accumulation zones, confirming its importance as a robust scientific tool for predicting flood-prone areas and supporting decision-makers in water resources management, flood mitigation, and sustainable urban planning within the study area.

Keywords: Floods; Geographic Information Systems (GIS); Remote sensing; Topographic Wetness Index (TWI); Al-Khums region; Water accumulation.



مقدمة:

يُعد استخدام التقنيات المكانية من الوسائل الحديثة والمهمة في رصد أماكن تجمع مياه الأمطار في المنطقة، وتحديد موقع تجمع مياه الأمطار. ومنطقة الخمس، كإحدى المناطق في ليبيا، تواجه مخاطر متكررة جراء الفيضانات والسيول تؤثر سلباً على البنية التحتية وخاصة الطرق والمواصلات؛ ولذلك تظل الحاجة ماسة إلى خطة استراتيجية للحد من خطر الفيضانات والتقليل من آثارها بالمنطقة، ولعل استخدام نموذج الارتفاع الرقمي من الأدوات الرئيسية التي تعطي الصورة الحقيقية للغطاء الأرضي، وتتمكن من إنتاج خريطة تفصيلية توضح مناطق تجمع السيول، والتي من خلالها توجيه اهتمام المتخصصين بالتخطيط البيئي تكون أولى اهتماماتها إدارة مياه الأمطار، والحد من مشاكل السيول والفيضانات بمنطقة الدراسة.

مشكلة البحث:

تُعد منطقة الخمس من أكثر المناطق الساحلية تعرضاً لمخاطر السيول والفيضانات الناجمة عن تساقط الأمطار الغزيرة؛ مما يؤدي إلى ارتفاع منسوب المياه في الشوارع والطرق العامة، ويترتب عليه تعطل حركة المرور وإلحاق أضرار بالبنية التحتية، ونظرًا لصعوبة منع تكرار هذه الظاهرة، تبرز الحاجة إلى دراسة الخصائص الهيدرولوجية للأودية وتحليل السطح الطبوغرافي للمنطقة بهدف تحديد موقع تجمع مياه الأمطار والمناطق الأكثر عرضة للفيضانات، وخاصة تلك الواقعة على الطرق الرئيسية، وذلك من خلال الإجابة عن التساؤلين الآتيين:

1. إلى أي حد يمكن لمؤشر الرطوبة الطبوغرافية (TWI) أن يُسهم في تحديد أماكن تجمع مياه السيول بالمنطقة؟

2. ما هي الواقع الأكثر تأثيراً بأخطار السيول في منطقة الدراسة؟

فرضية البحث:

يقوم البحث على الفرضية الآتية: استخدام نظم المعلومات الجغرافية (GIS) ومؤشر الرطوبة الطبوغرافية (TWI)، في رصد موقع تجمع مياه الأمطار، يمكن من إنتاج خرائط دقيقة توضح المناطق الأكثر عرضة للفيضانات في منطقة الدراسة.

أهداف البحث:

1. تحليل الخصائص الميدرولوجية للأودية في منطقة الخمس؛ لتحديد موقع تجمع مياه الأمطار.
2. استخدام مؤشر الرطوبة الطوبوغرافية (TWI)؛ لتحديد المناطق الأكثر عرضة للفيضانات.
3. إنتاج خرائط دقيقة تبين الطرق والمناطق الأكثر تأثراً بأخطار السيول والفيضانات.

أهمية البحث:

تجسد أهمية البحث في الآتي:

1. تسليط الضوء على أهمية استخدام مؤشر (TWI) والاستفادة منها في زيادة الوعي بالفيضانات المحتملة.
2. توجيه الأنشطة البشرية لابتعاد عن مناطق تجمع المياه، ودعم الجهود المحلية للحد من مخاطر الفيضانات بالمنطقة.
3. التنبؤ بالموقع المعرض للفيضانات، ودعم صناع القرار في إدارة الموارد المائية، والتخطيط العمراني المستدام بمنطقة الدراسة.

المنهجية:

اعتمد البحث على المنهج التطبيقي المعنى باستخدام نظم المعلومات الجغرافية في تحليل ومعالجة البيانات، وكذلك المنهج التحليلي، والتركيز على التحليل المكاني ليشمل كل ما له علاقة بالموضوع سرداً ووصفاً.

أدوات البحث:

بالإضافة إلى ما تتوفره المصادر العلمية اعتمد البحث على نموذج الارتفاع الرقمي (Digital Elevation Model) (Clayton, 2017, p4-5)

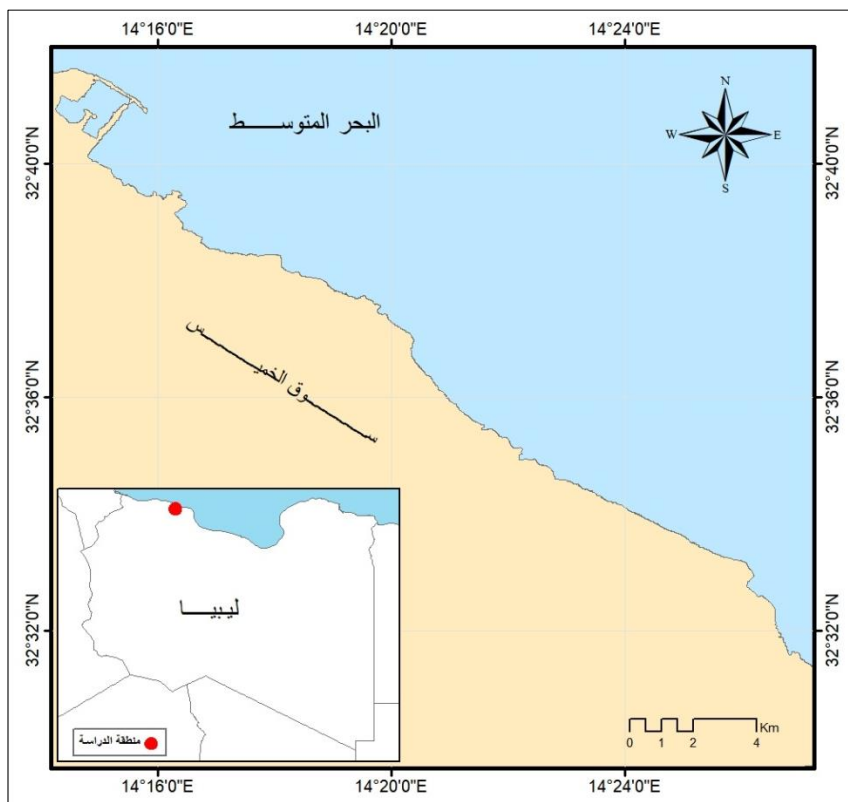
1. نموذج الارتفاع الرقمي للمنطقة Digital Elevation Model for area
2. اتجاهات جريان المياه Flow Direction Layer
3. مناطق تجمع المياه Flow Accumulation layer
4. طبقة الانحدار Slope Layer



موقع وحدود منطقة البحث:

تقع في شمال غرب ليبيا وتبعد عن مدينة طرابلس العاصمة (120) كيلومترًا. يحدها من الشمال البحر المتوسط ومن الجنوب منطقة العمارة، ومن الشرق وادي كعام ومن الغرب وادي لبدة. أمّا فلكيًّا تتمتد منطقة الدراسة بين خطى طول $14^{\circ}29'6''E$ و $14^{\circ}39'2''E$ وبين عرض $29^{\circ}38'32''N$ و $30^{\circ}09'14''N$ شرقًا وبين دائري عرض $55^{\circ}17'32''E$ و $50^{\circ}93'12''E$ شمالًا، كما هو موضح بالخرائطة (1).

خرائطة (1) الموقع الجغرافي لمنطقة الدراسة.



المصدر: من عمل الباحث باستخدام برنامج Arc Map 10.8.2 بالاعتماد على خريطة محلات شعبية المربك، المكتب الهندسي الاستشاري، طرابلس.

الدراسات السابقة:

توجد العديد من الدراسات التي تناولت تقييم وتحديد المناطق المعرضة للفيضانات في

العديد من المناطق في ليبيا، إلا إن موضوع مؤشر (TWI) في تحديد موقع تجمع مياه الجريان السيلي لم يتم تناوله في منطقة الخمس التي تُعد من أكثر المناطق عرضة للفيضانات الساحلية وخاصة، ومن الدراسات المشابهة ما يأتي:

- تناولت دراسة ماو وآخرون (2025) تقييم حالات الفيضانات المفاجئة ومناطق الخطير على طول سواحل البحر الأبيض المتوسط: نجح نظم المعلومات الجغرافية وتقنيات رسم الخرائط في حوض وادي صف الصاف، شمال شرق الجزائر، اعتمدوا على التحليل المورفومترى الإحصائي وGIS في تقييم المخاطر في المناطق الساحلية، وأظهرت النتائج خمس فئات من المخاطر، من منخفضة جداً إلى عالية جداً، مع تحديد الموقع الأكثر عرضة للفيضانات.
- دراسة لعاشور (2023) لتقدير عمق الجريان السطحي لحوض وادي درنة من خلال دمج نظم المعلومات الجغرافية ونموذج خدمة الحفاظ على التربة (SCS-CN)، وقد أظهرت نتائج النموذج أنَّ متوسط حجم الجريان السطحي السنوي خلال الفترة (1960-2000) بلغ حوالي (138.51) مليون متراً مكعباً، كما أنَّ حوض وادي درنة يتميز بارتفاع الاستجابة الهيدرولوجية للأمطار الغزيرة بسبب خصائص التربة ونمط استخدام الأرض، مما يجعله عرضة لمخاطر الفيضانات المتكررة.
- دراسة القاسي وآخرون (2023) حول تقييم تحديد المناطق المعرضة للفيضانات في منطقة غات الكبیر شملت عدة معايير، وهي رقم منحني رقم الجريان السطحي (CN)، والمنحدر (S)، والارتفاع (E)، وكثافة الصرف (Dd) ومؤشر البلل الطبوغرافي TWI، ومؤشر الموضع الطبوغرافي (TPI) لإعداد مؤشر المخاطر. باستخدام أدوات تحليل المنطق الضبابي في ArcGIS، وأظهرت النتائج أن 40٪ من الفيضانات مرتبطة بمناطق عالية الخطورة إلى عالية جداً، مع تعرض الأرضي السكنية لأكبر خطر، مؤكدة فاعلية الموضوع في دعم اتخاذ القرار لإدارة الكوارث.



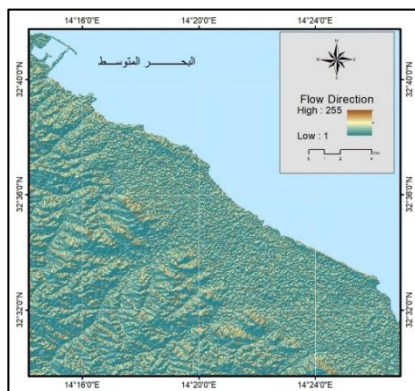
المخور الأول

مؤشر مؤشرات تجمع المياه بناء على الفروقات في الارتفاعات

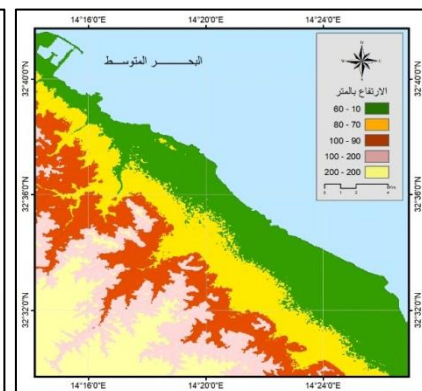
وهي أهم الخطوات، وهي تجهيز الطبقات المطلوبة من الخرائط، وجميعها لها علاقة بتجمع المياه بناءً على الفرق في الارتفاعات التي سُتستخدم لتحديد الموقع القابلة لتجمع المياه، وهذه الخرائط كما هي على النحو الآتي:

1. نموذج الارتفاع الرقمي : (Digital Elevation Model - DEM) ويعتبر من أهم الطبقات التي يمكن عن طريقها تحديد حركة الجريان السطحي للمياه، وتحديد نقاط تجمع المياه بناءً على الارتفاعات. وكما هو معلوم أنه كلما انخفض السطح، ازدادت احتمالية تجمع المياه أكثر، وعلى العكس تماماً عندما يكون السطح مرتفعاً. ومن الخريطة (2) نجد أن الفئة الأولى التي تتراوح بين (12-55) متراً، تمثل نقاط تصريف نهائية للأودية بالمنطقة، وتعتبر أخفض المناطق لتجميع المياه وأكثرها تكويناً للفيضانات بمنطقة الدراسة. أما الفئة الثانية التي تتراوح بين (56-80) متراً، فهي تمثل مناطق قابلة لتجمع المياه كونها تعتبر مناطق منبسطة، بينما الفئة (81-110) متراً، وهي تمثل منطقة انتقالية بين المناطق المرتفعة والمناطق المسطحة تميزت بمسارات أولية لتجمع المياه المؤقتة. أما مناطق السفوح أو الانحدارات المتوسطة الواقعة بين (120-140) متراً، تحتوي على مسارات لتجمع المياه السطحية فيها، فيزداد تدفق المياه السطحية نتيجة تجمع المياه من المناطق الأعلى. أما المناطق التي تبدأ منها عملية الجريان السطحي، والتي تتحصر بين (150-190) متراً، فهي تشكل مناطق محاري الرتبة الأولى المعنية بمنع الأودية أعلى المناطق التي تسقط عليها الأمطار.
2. اتجاهات جريان المياه (Flow Direction Layer)، وتعتبر من الطبقات المهمة لحساب التدفق التراكمي (Flow Accumulation)، والمطلوبة في حساب معادلة (TWI) لكي يمكن تحديد المسارات التي تسلكها المياه من كل خلية (pixel) في نموذج الارتفاع الرقمي (DEM).

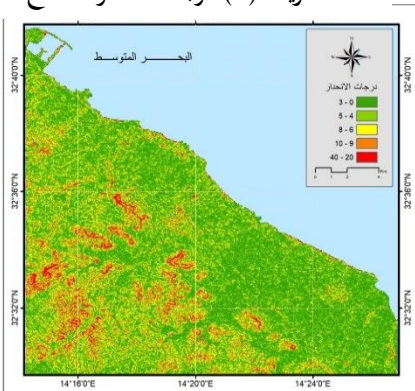
خرائط (3) اتجاهات جريان المياه



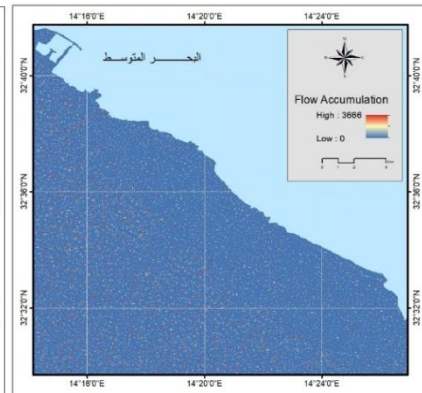
خرائط (2) نموذج الارتفاع الرقمي



خرائط (5) درجات الانحدار السطحي



خرائط (4) أماكن تجمع المياه



المصدر: المراجع من إعداد الباحث باستخدام (GIS) منتجة بالاعتماد على صورة (DEM) بدقة مكانية 12.5 متر.

الخور الثاني : مؤشر الرطوبة الطوبغرافية (TWI)

مؤشر الرطوبة الطوبغرافية (TWI) " هو مؤشر لتأثير التضاريس المحلية على اتجاه تدفق الجريان السطحي وتراممه ويتم إجراء حساب (TWI) باستخدام التقنيات المكانية، من برنامج ArcMap (ArcMap) لتحديد أنماط جريان الأمطار، والمناطق ذات الزيادة المحتملة في رطوبة التربة، ومناطق البرك " (www.illinoisfloodmaps.org/topo-wetness)، ومن خريطة نموذج الارتفاع الرقمي للمنطقة (DEM) وخريطة اتجاهات جريان المياه (Flow Accumulation) وخريطة مناطق تجمع المياه (Flow Direction) وخريطة درجات الانحدار (Slope) يتم حساب مؤشر (TWI) وتحديد تجمع المياه بناءً

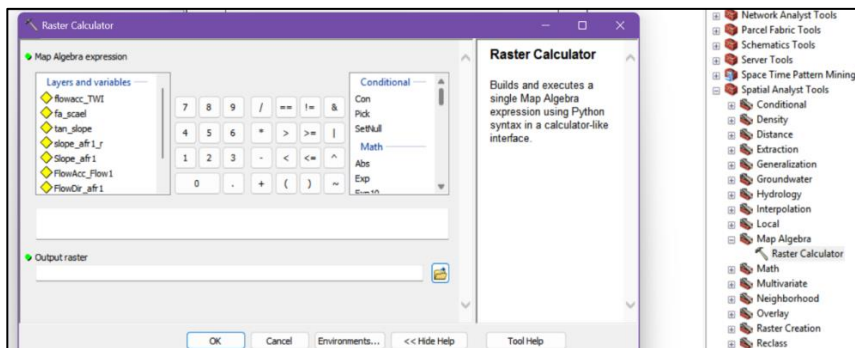


على الفرق في الارتفاعات باستخدام أداة (Map Algebra) & (Raster Calculator) بتطبيق المعادلات التالية:

Step for TWI

DEM → Fill DEM → Flow direction → Flow accumulation → Slope in degree → Radians of slope = (Slope in degree * 1.570796) / 90 → Tan slope = con (slope > 0, tan(slope), 0.001) → Flow accumulation scaled = (flow accumulation + 1) * cell size → TWI = ln (Flow accumulation scaled / Tan slope)

شكل (1) أداة العمل (Map Algebra)



1. تحويل الانحدار من درجات إلى (Radian) (*): (Bisrat & Berhanu, 2018, p94)

$$\text{Slope} = \text{Slope} \times 1.5707796 / 90$$

2. حساب ظل زاوية الانحدار مع معالجة القيم الصفرية:

$$\text{Tan (Slope)} , 0.001 \quad 0 - \text{Tan Slope} = \text{Con(Slope)} >$$

3. حساب التدفق التراكمي الموزون بحجم الخلية:

$$-Fa_scaled = (Fa+1) * Cell Size$$

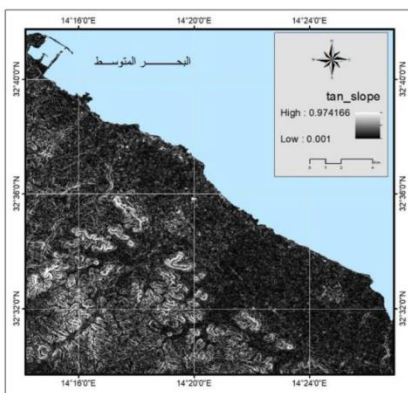
4. حساب مؤشر (TWI) النهائي (*): (Drover, And others, 2015, p11823)

$$-TWI = \ln (Fa_scaled) / \text{Tan (Slope)}$$

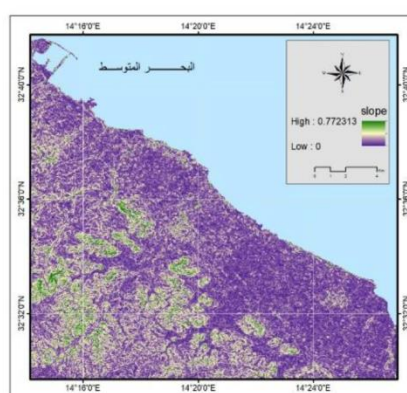
ومن خلال تطبيق المعادلات السابقة، تم استخلاص كل الخرائط لتنتهي الخطوة الأخيرة بإنتاج خريطة تحدد الموقع الرئيسي، التي تتجمع فيها مياه الأمطار على الطرق بالمنطقة والمشار بالخريطة (10):

(*) هو: وحدة قياس الزوايا، ويستخدم لتحويل الانحدار من الدرجات (Degrees) إلى (Radians)

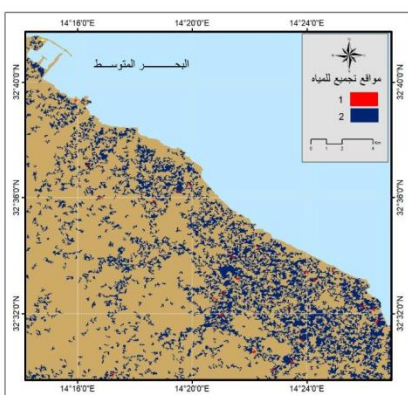
خرائط (7) حساب ظل زاوية الانحدار مع معالجة القيم الصفرية



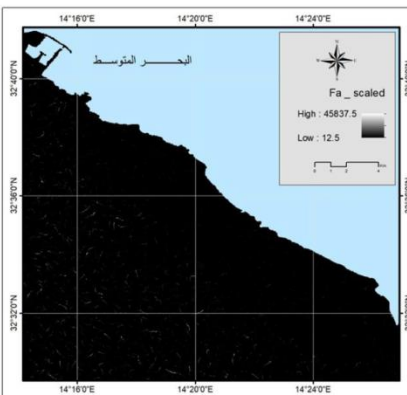
خرائط (6) تحويل الانحدار من درجات إلى Radian



خرائط (9) حساب مؤشر TWI النهائي



خرائط (8) حساب التدفق التراكمي الموزون بحجم الخلية

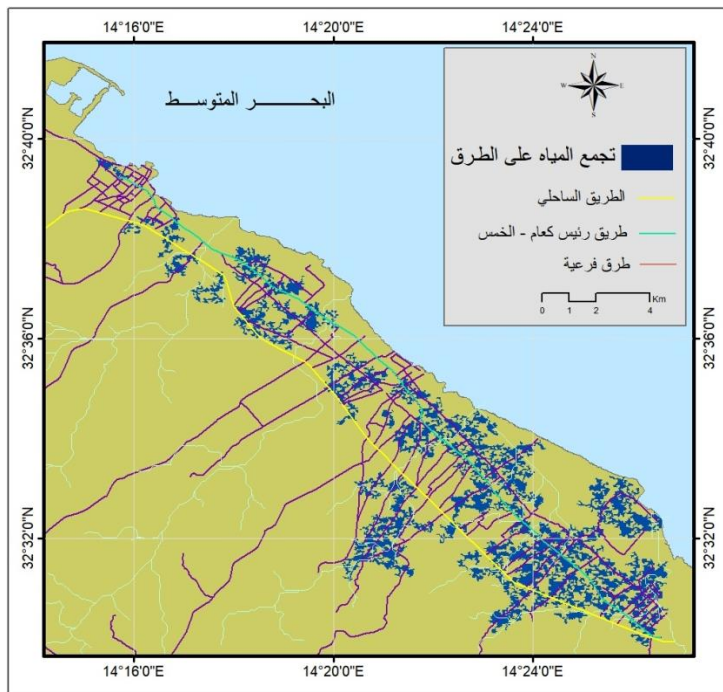


المصدر: نفس المصدر السابق اعتماداً المعادلات السابقة من 1 - 4 .

المحور الثالث: مناقشة النتائج:

أظهرت نتائج تطبيقات نظم المعلومات الجغرافية مؤشر (TWI) والتحليلات السابقة أن موقع تجمع مياه الأمطار تركزت في المناطق المنخفضة ذات الانحدارات البسيطة على الطرق الرئيسية، مما يجعلها أكثر عرضة للفيضان، وكما موضحة على الخريطة التالية والمشار لها باللون الأزرق، حيث يتضح كبر أكبر كثافة لتجمع المياه تقع في المنطقة الوسطى والجنوبية الشرقية وعلى طول المنطقة الساحلية على جانبي الطرق الرئيسية والفرعية، وكما يظهر واضحًا من الخريطة الآتية:

خرائط (10) موقع تجمع المياه بمنطقة الدراسة.



المصدر: نفس المصدر السابق اعتماداً المعادلات السابقة من ١ - ٤ .

وبناءً على الإحصائيات الجغرافية المبينة في الجدول التالي نجد تركز المياه على امتداد المنطقة الساحلية ضمن تقاطعات الطرق الرئيسية والفرعية، مما يستدعي حلولاً جذرية لتفادي إغلاق الطرق وحماية البنية التحتية بالمنطقة.

جدول (1) الموقع التقريري لتجمع المياه الرئيسية بمنطقة الدراسة.

الرتبة	الموقع	التوضيح
1	تجمعات متعدلة قرب الساحل	'40°32 - '38°32 14°16' - 14°18'
2	على طول الطريق الساحلي والفرعي	'38°32 - '36°32 14°16' - 14°18'
3	كثافة مياه عالية	'38°32 - '36°32 14°18' - 14°20'
4	فيضان كثيف جداً على تقاطع الطرق	'36°32 - '34°32 14°20' - 14°22'
5	أعلى كثافة للفيضان في كامل الخريطة	'34°32 - '32°32 14°20' - 14°24'
6	كثافة عالية جداً للفيضانات على الطرق الفرعية	'32°32 - '30°32 14°20' - 14°24'
7	فيضانات واسعة ومتوزعة ومترددة مع الطرق	'30°32 - '28°32 14°18' - 14°22'
8	أقل كثافة ولكنها منتشرة على الطرق الفرعية	'28°32 - '26°32 14°16' - 14°20'
9	تجمعات للمياه على الطريق كعام الخمس المشار له باللون الأخضر	'24°32 - '22°32 14°18' - 14°20'

تأثير الفيضانات على الحركة المرورية، وتتسبب في حدوث الكثير من المشاكل، التي

من أهمها:

1. كثرة حوادث المرور جراء البحيرات التي تكونها الفيضانات على الطرق التي تؤدي إلى وقوع الحوادث خاصة على الطرق الرئيسية وما يتربّع عنها من ازدحام واحتقانات مرورية تعطل حركة المرور وأغلاق الطرق.
2. تجمع المياه يؤدي إلى ضرر بالأأسفلت حيث تأكل الطبقات المرصوفة وحدوث تشغقات وحفر بالطرق، إلى جانب تلف الأرصفة والمنشآت الجانبية على الطرق مما يتطلب نفقات كبيرة لإصلاحها.
3. توقف حركة المرور والنقل العام في كثير من الواقع التعليمية والإدارية والخدمية، وصعوبة التنقل بين المناطق.

النتائج:

1. تحديد المناطق الأكثر خطورة تبيّن من خلال النماذج المكانية تحديد البؤر الأساسية؛ لتجمع السيول بالمنطقة باستخدام نظم المعلومات الجغرافية.
2. أظهرت الخريطة أن الفيضانات تتركز على الطرق الرئيسية، وهذا بدوره يؤثر سلباً استدامة الطرق.
3. أثبت مؤشر (TWI) قدرته العالية على تحديد أشكال تجمع المياه في منطقة الدراسة، كأداة مهمة لتوقع الواقع الأكثر عرضة للفيضانات؛ مما يجعله أساساً علمياً يمكن الاعتماد عليه في التخطيط الحضري وإدارة السيول.
4. بناء قاعدة بيانات جغرافية رقمية متكاملة، تفيد صناع القرار والجهات المحلية في التخطيط العمراني؛ للحد من مخاطر الفيضانات.

الوصيات:

1. الاستفادة من مؤشر (TWI) كأداة رئيسية في مشاريع البنية التحتية، واعتمادها في التخطيط العمراني لتلائي إنشاء أي مرفق وخاصة الطرق أو مباني في المناطق المعرضة لتجمع مياه السيول بالمنطقة.
2. تنفيذ ببارات لتصريف السيول، خاصة في النقاط الحرجة التي حددتها خريطة تجمع المياه، لتقليل مخاطر تراكمها على الطرق الرئيسية.



3. تكثيف الدراسات الميدلوجية الأكثر تفصيلاً، تشمل تحديد حجم الجريان السيلي للأودية وتقدير كميات المياه المتداقة في المواسم المطيرة.
4. إعادة النظر في المواصفات الهندسية في تصميم الطرق؛ بما يضمن الحد من الأضرار الناجمة عن السيول.
5. بناء قاعدة بيانات جغرافية تتعلق ببيانات الأمطار، والجريان السطحي، وموقع الفيضانات لكي تكون مرجعاً يفيد الجهات المعنية بالخطيط بمنطقة الدراسة.
6. توعية المواطنين بإخطار السيول، ونشر خرائط بموقع أخطار الفيضانات والسيول، والابتعاد عن مجاري السيول ومناطق تجمع المياه، وتفعيل خدمات الطوارئ أثناء مواسم الأمطار.

المصادر والمراجع:

- عاشور، عبد الوانيس عبدالرحمن، (2023)، تقدير عمق الجريان السطحي لخوض وادي درنة من خلال التكامل بين نظم المعلومات الجغرافية وغفوج (SCS-CN) مجلة جامعة سبها للعلوم البحثية والتطبيقية.
- القاسي، حامد وآخرون، (2023)، استخدام نظم المعلومات الجغرافية والمنطق الضبابي متعدد المعايير لتقييم وتحديد المناطق المعرضة للفيضانات في منطقة غات الكبير، مجلة جامعة وادي الشطى للعلوم البحثة والتطبيقية، المجلد 1، العدد 1، يوليو - ديسمبر.
- عبد الرحمن، هالة محمد، (2022)، هيدرولوجية أحواض الوديان وحصاد المياه غرب بحيرة ساوه، رسالة ماجستير (غير منشورة)، كلية التربية للبنات، جامعة بغداد.
- Ballerine, C. (2017). *Topographic Wetness Index Urban Flooding Awareness Act Action Support, Will and DuPage Counties, Illinois: Coordinated Hazard Assessment and Mapping Program*. Illinois State Water Survey, Prairie Research Institute, University of Illinois.
 - Bisrat, E., & Berhanu, B. (2018). Identification of surface water storing sites using Topographic Wetness Index (TWI) and Normalized Difference Vegetation Index (NDVI). *Journal of Natural Resources and Development*, 8, 91–100. Addis Ababa, Ethiopia.
 - Drover, D., et al. (2015). Effects of DEM scale on the spatial distribution of the TOPMODEL Topographic Wetness Index and its correlations to watershed characteristics. *Copernicus Publications on behalf of the European Geosciences Union*.
 - Maou, A., & others. (2025). Assessing flash flood occurrences and hazard zones along the Mediterranean coasts: A GIS and mapping techniques approach in the Wadi Saf Saf Basin. *Frontiers in Earth Science, Section: Geohazards and Georisks*.
 - <https://www.illinoisfloodmaps.org/topo-wetness-index.aspx#top>